#### Contenu du cours

- 1. Intro et particularités
- 2. Plan de phase
- 3. Méthode du premier harmonique
- 4. Lyapunov I/II et III

- 5. Passivité
- 6. Critère du cercle
- 7. Linéarisation par feedback

#### Intro et particularités

- 1. Rappels et définition
- 2. Etat, stabilité et point d'équilibre
- 3. Explosion en temps fini
- 4. Réponse indicielle asymétrique

- 5. Réponse multiharmonique
- 6. Trajectoire chaotique

#### 1. Rappels et définitions

Système linéaire:

Fonction de transfert

$$G(s) =$$

$$G(s) =$$

$$H(z) =$$

$$H(z) =$$

## Principe de superposition

Si 
$$\forall u_1(t), \forall u_2(t)$$

alors

on déduit que le système *entrée-sortie* est entièrement décrit par la réponse impulsionnelle g(t).

2. Etat, stabilité et point d'équilibre

Représentation d'état (Dans ce cours, dim  $u = \dim y = 1$ .)

x est le vecteur des états: ensemble des conditions qui spécifient entièrement le comportement futur lorsque l'entrée u(t) est connue.

Stabilité des systèmes linéaires

Stabilité BIBO: entrée bornée, sortie bornée

Fct. de transfert:

$$G(s) = \frac{B(s)}{A(s)}$$

racines de

est une condition suffisante pour la BIBO stabilité

<u>∧</u> En représentation d'état, la stabilité BIBO est insuffisante à cause des modes non observables, non gouvernables.

 $\longrightarrow$  on aura recours à une définition qui utilise le vecteur de conditions initiales  $x_0$  et la trajectoire (équation horaire) du système  $\chi(x_0, t)$ .

La défnition s'appliquera également au cas non linéaire.

Dans la représentation d'état, on peut envisager une dynamique sans entrée

$$\dot{x} = Ax$$

et on détermine la stabilité par la position des valeurs propres

$$G(s) = C(sI - A)^{-1}B + D$$
 BIBO stable

Un état Exemple de systèmes linéaires à un état:

$$\dot{x} = +x$$

$$\dot{x} = -x$$

$$\chi(x_0, t) = x_0 e^t$$

$$\chi(x_0,t) = x_0 e^{-t}$$

instable

valeur propre:  $\lambda = +1$ 

stable

valeur propre:  $\lambda = -1$ 

Plus difficile: système non linéaire

$$\dot{x} = -x + x^2$$

On constate la présence du signe – devant x et du signe + devant  $x^2$ .

Qui va l'emporter?

$$\dot{x} = -x$$

Localement autour de x = 0,  $\dot{x} = -x$  est une bonne approximation

$$de \dot{x} = -x + x^2$$

### Calcul des points d'équilibre

<u>Définition</u> d'un système non linéaire (sans entrée)

Définition d'un point d'équilibre

$$\bar{x}$$
 tel que  $0 = f(\bar{x})$ 

Dans notre cas,

$$f = -x + x^2$$

et donc

$$-x + x^2 =$$

premier point d'équilibre

deuxième point d'équilibre. Comment se comporte-t-il ?

$$\dot{x} = -x + x^2$$

Solution de l'équation différentielle:

$$\chi(x_0, t) = \tag{1}$$

$$\left(\frac{f}{g}\right)' = \frac{f'g - fg'}{g^2} \qquad \dot{\chi} = \frac{-x_0e^{-t}(1 - x_0 + x_0e^{-t}) + x_0e_{-t}(x_0e^{-t})}{(1 - x_0 + x_0e^{-t})^2}$$

$$= (2)$$

D'un autre côté,

$$-\chi + \chi^2 = -\frac{x_0 e_{-t} (1 - x_0 + x_0 e^{-t})}{(1 - x_0 + x_0 e^{-t})^2} + \frac{x_0^2 e^{-2t}}{(1 - x_0 + x_0 e^{-t})^2} =$$
(3)

Ok car (2) est égal à (3)

Examinons le dénominateur de (1):

lorsque  $x_0 > 1$ , on a  $1 - x_0 < 0$  et  $\lim_{t \to +\infty} (1 - x_0 + x_0 e^{-t}) = 1 - x_0 < 0$ .

Par contre, au temps t = 0, on a  $1 - x_0 + x_0 = 1 > 0$ .

 $\triangle$  Il existe donc  $\bar{t} > 0$  tel que  $1 - x_0 + x_0 e^{-\bar{t}} = 0$ 

exemple avec  $x_0 = 1.2$ 

$$x_0 e^{-\bar{t}} = x_0 - 1$$
 $\bar{t} = 1.79[s]$ 

4. Réponse indicielle disymétrique

Soit le système linéaire  $\dot{x} = -x + u$ 

Soit le système non linéaire  $\dot{x} = x|x| + u$ 

### 5. Réponse polyharmonique

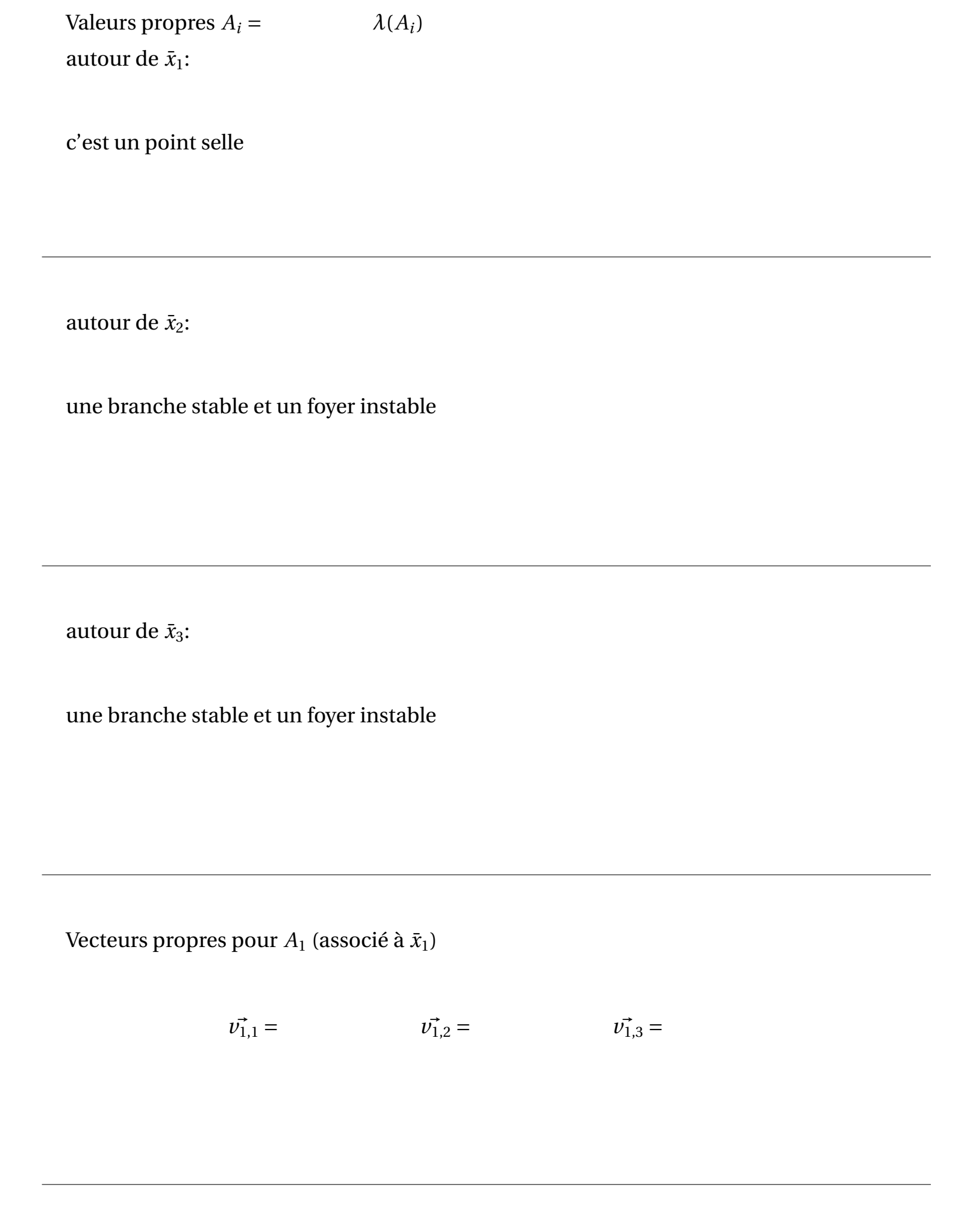
Système avec dissipation d'énergie. Régime permanent.

# 6. Trajectoires chaotiques

Exemple: Oscillateur de Lorentz:  $(\sigma = 10, b = \frac{8}{3}, r = 28)$ 

Il y a trois points d'équilibre distincts:

$$\bar{x}_1 = \begin{pmatrix} 0 \\ 0 \\ 0 \end{pmatrix}$$



Vecteurs propres pour  $A_2$  (associé à  $\bar{x}_2$ )

$$\vec{v_{2,1}} =$$

$$\vec{v_{2,2}} =$$

$$\vec{v_{2,3}} =$$

Vecteurs propres pour  $A_3$  (associé à  $\bar{x}_3$ )

$$\vec{v_{2,1}} =$$

$$\vec{v_{2,2}} =$$

$$\vec{v_{2,3}} =$$

 $\triangle$  En effectuant  $\vec{v_{3,2}} + \vec{v_{3,3}}$ , on obtient un générateur réel ainsi que pour i  $\vec{v_{3,2}} - i$   $\vec{v_{3,3}}$ 

→ Plan tangent aux trajectoires localement autour du point d'équilibre